

20073



ОБЪЕДИНЕННЫЙ ИНСТИТУТ ЯДЕРНЫХ ИССЛЕДОВАНИЙ

1-2001-111

К-906

На правах рукописи  
УДК 539.1.074.4,  
539.171.12/6.539.126

КУЛЬЧИЦКИЙ  
Юрий Александрович

ДИФФЕРЕНЦИАЛЬНЫЕ СЕЧЕНИЯ РЕАКЦИЙ  
 $\pi^+ A \rightarrow K_s^0 + X, K^+ A \rightarrow K^0, K^+(892)^0 + X$  ПРИ 11,2 ГэВ  
И МЕТОДЫ ИЗМЕРЕНИЯ ХАРАКТЕРИСТИК  
КАЛОРИМЕТРИЧЕСКОГО КОМПЛЕКСА  
ЭКСПЕРИМЕНТА АТЛАС

Специальность: 01.04.16 — физика ядра и элементарных частиц

Автореферат диссертации на соискание ученой степени  
доктора физико-математических наук

Дубна 2001

Ю. В. Кульчицкий

Работа выполнена в Лаборатории ядерных проблем  
имени В.П. Джелепова  
Объединенного института ядерных исследований.

Официальные оппоненты:

доктор физико-математических наук,  
старший научный сотрудник

доктор физико-математических наук,  
старший научный сотрудник

доктор физико-математических наук,  
профессор

В.М. Гришин

В.А. Качанов

А.А. Тяпкин

Ведущее научно-исследовательское учреждение:

Научно-исследовательский институт ядерной физики МГУ, г. Москва

Защита диссертации состоится “29 06 2001 года  
на заседании диссертационного совета Д 720.001.03 в Объединенном  
институте ядерных исследований; 141980, г. Дубна, Московская об-  
ласть, Россия.

С диссертацией можно ознакомиться в библиотеке ОИЯИ.

Автореферат разослан “30 05 2001 года.

Ученый секретарь диссертационного Совета  
доктор физико-математических наук, профессор

Ю.А. Батусов

## Введение

Диссертационная работа обобщает наиболее существенные результаты 1980 – 2000 годов, полученные автором в завершённом исследовании в области адрон-ядерных взаимодействий: измерении сечений ряда инклузивных реакций и развитии методов прецизионной адронной калориметрии в экспериментах нового поколения на ускорителях ТэВ-ного диапазона. В первой части диссертации содержатся данные, в том числе полученные впервые, об экспериментальном исследовании процесса адронизации  $s$ -кварка в  $\pi^+$ ,  $K^+$ -рассеянии на ядрах в области фрагментации налетающего мезона. Ряд этих результатов остаются и в настоящее время единственными сведениями в указанной области. Вторая часть диссертации включает полученные автором результаты экспериментального исследования пространственного развития адронного ливня и важных свойств калориметрического комплекса эксперимента АТЛАС (ЦЕРН) с применением новых методов анализа информации, поступающей с адронных калориметров и комбинированных калориметров, состоящих из электромагнитной и адронной частей.

## Общая характеристика работы

**Актуальность темы диссертации.** Уникальную возможность для получения недоступной в адрон-адронных взаимодействиях информации о пространственно-временной структуре сильных взаимодействий и о цветовой структуре адронов предоставляет изучение адрон-ядерных взаимодействий. Изучение эффектов времени формирования адрона возможно при использовании ядра, как совокупности нуклонных мишеней, поскольку характерное время сильных взаимодействий составляет порядка одного ферми. Эффект взаимного “экранования цвета” различных составляющих адрона является одним из важнейших качественных предсказаний квантовой хромодинамики. Он проявляется в зависимости сечения взаимодействия от среднеквадратичного радиуса адрона. Ярким следствием эффекта “экранования цвета” является “цветовая прозрачность” ядер для “сжатых” адронных конфигураций. Пространственно-временная структура процесса “экранирования цветовых зарядов” приводит к нетривиальному ядерному экранированию как жестких, так и мягких процессов. Актуальной проблемой физики частиц является экспериментальная проверка фундаментальных предсказаний КХД в адрон-ядерных взаимодействиях для мягких процессов.

Первая часть диссертация обобщает завершенные результаты изу-

чения процесса адронизации  $s$ -кварка, выполненного на спектрометре "Гиперон", в рамках программы по исследованию образования и распадов мезонов в инклузивных процессах на ускорителе У-70 (ИФВЭ)  $\pi^+ + A \rightarrow K_s^0 + X, K_s^0 \rightarrow \pi^+ \pi^-$ , ( $A = Be, Cu$ ), (1)

$K^+ + A \rightarrow K^0 + X, K^0 \rightarrow \pi^+ \pi^-$ , ( $A = Be, Cu, Pb$ ), (2)

$K^+ + A \rightarrow K^*(892)^0 + X, K^*(892)^0 \rightarrow K^+ \pi^-$ , ( $A = Be, Cu, Pb$ ) (3)

в области фрагментации ( $0,4 < x_f < 1, p_t < 0,5$  ГэВ/с), налетающих адронов ( $\pi^+, K^+$ ) при энергии 11,2 ГэВ.

Актуальность измерения сечений инклузивных процессов при энергиях  $\simeq 10$  ГэВ подтверждается осуществлением в ЦЕРН широкой программы исследований реакций  $hA \rightarrow h + X$  на установке HARP<sup>1)</sup>.

Исследование теоретических аспектов адронизации на ядрах в модели "экранирования цвета"<sup>2)</sup> и попытки экспериментального обнаружения эффектов КХД сохраняют свою актуальность до настоящего времени. Так, например, недавно получено указание на обнаружение эффекта при исследовании реакций  $\mu A \rightarrow \rho^0 \mu A$  при 470 ГэВ в эксперименте E665 (Fermilab)<sup>3)</sup>; поиск этого эффекта ведется в процессах  $eA \rightarrow \rho^0 eA$  при 25,5 ГэВ в эксперименте HERMES (DESY)<sup>4)</sup>.

Измеренные сечения адрон-ядерных взаимодействий будут полезны при планировании программы адрон-ядерных и ядро-ядерных исследования на Большом адронном коллайдере (БАК) в ЦЕРН и для более детального описания развития адронных ливней в программах моделирования (например, MARS и GEANT), используемых в экспериментах, подобных АТЛАС и в физике космических лучей.

Важнейшими задачами современной физики высоких энергий являются исследование механизма спонтанного нарушения симметрии в электро-слабом секторе фундаментальных взаимодействий (поиск одного или более хиггсовских бозонов), исследование новых физических явлений за пределами стандартной модели (суперсимметрия), прецизионное измерение массы  $t$ -кварка и  $W$ -бозона, поиск структуры кварков. Для решения этих задач предназначена установка АТЛАС. Обнаружение хиггсовского бозона кардинальным образом зависит от калориметрической информации.

<sup>1)</sup> F.Dydak et al., Proposal to Study Hadron Production for the Neutrino Factory and for the Atmospheric Neutrino Flux, CERN-SPSC/99-35, 1999.

<sup>2)</sup> B.Kopeliovich et al., PL B368 (1996) 187; PL B403 (1997) 128.

<sup>3)</sup> M.R.Adams et al., PRL 74 (1995) 1525.

<sup>4)</sup> K.Ackerstaff et al., PRL 82 (1999) 3025.

В области масс  $m_H$  между пределом чувствительности LEP-2 ( $\simeq 100$  ГэВ) и  $m_H = 130$  ГэВ наиболее вероятен канал  $H \rightarrow \gamma\gamma$ , причем  $\gamma$ -кванты будут регистрироваться электромагнитным калориметром. В области  $130 < m_H < 600$  ГэВ мода распада  $H \rightarrow ZZ^* \rightarrow 4l$  реконструируется с использованием калориметрической информации для выделения  $\geq 2$  электронов. В обоих случаях фоновые события отсекаются с использованием калориметрического комплекса. Для примера, сечение образования хиггсовского бозона с массой  $\simeq 500$  ГэВ составляет  $10^{-11} \sigma_{tot}$ . При  $m_H > 600$  ГэВ доминируют каналы:  $H \rightarrow ZZ \rightarrow ll\nu\nu$ , для выделения которого необходимо точное измерение калориметрическим комплексом недостающей поперечной энергии, и  $H \rightarrow WW \rightarrow l\nu jet jet$ , который может быть обнаружен в случае реконструкции  $W \rightarrow jet jet$  с использованием калориметрии.

Исследование характеристик адронного калориметра нового типа, с продольным расположением детектирующих элементов (рис. 8Б), и всего калориметрического комплекса эксперимента АТЛАС, разработка и применение новых методов анализа калориметрической информации — являются актуальными проблемами физики высоких энергий. Решение этих задач необходимо для изучения физических процессов в новом ТэВ-ном энергетическом диапазоне протон-протонных взаимодействий (например, для исследования коллективных эффектов в событиях с предельно большой множественностью<sup>5)</sup>).

Решению актуальных задач прецизионной адронной калориметрии в экспериментах нового поколения на ускорителях ТэВ-ного диапазона энергий посвящена вторая часть диссертации.

#### Цель исследования:

- Получение новых экспериментальных данных о динамике мягких адрон-ядерных взаимодействий при высоких энергиях. Исследование в рамках современных модельных представлений процесса адронизации  $s$ -кварка в ядерной среде.
- Разработка новых методов анализа калориметрической информации, обеспечивающих достижение  $\pm 2\%$  линейности и энергетического разрешения  $50\%/\sqrt{E} \oplus 3\%$ , что позволит провести поиск хиггсовских бозонов ( $H \rightarrow WW, H \rightarrow b\bar{b}, A^0/H^0 \rightarrow \tau\tau$ ), структуры кварков и явлений за пределами Стандартной модели, существенно повысить точ-

<sup>5)</sup> Ю.А.Кульчицкий и др., Исследование корреляторов для событий с предельно большой множественностью адронов; Доклад на 2-ой Международной конференции "Very High Multiplicity Physics", 7-9 апреля 2001, ОИЯИ, Дубна, Россия.

ность измерения массы  $t$ -кварка и решить другие важные физические задачи в новом ТэВ-ном диапазоне протон-протонных взаимодействий.

3. Получение новых экспериментальных данных о пространственном развитии адронного ливня, являющегося проявлением процесса полного поглощения первичного адрона в веществе ( $h^\pm + A \rightarrow X$ )<sup>6)</sup>.

4. Получение характеристик адронного калориметра и всего калориметрического комплекса эксперимента АТЛАС при облучении в пучках пионов и электронов с энергиями 10 – 300 ГэВ и сравнение с результатами моделирования.

**Научная новизна.** Впервые измерены дифференциальные сечения инклюзивных процессов  $\pi^+ + Be, Cu \rightarrow K_s^0 + X$  при  $x_f > 0,4$ . Эти данные и сейчас являются единственными. Изучена их  $A$ -зависимости от  $x_f$ . Столь же единственными остаются наши измерения дваждыдифференциальных сечений  $K^+ + Be, Cu, Pb \rightarrow K^0, K^*(892)^0 + X$ . Изучена их  $A$ -зависимости от  $x_f$  и  $p_t$ . В рамках предложенной схемы проведен анализ измеренных сечений в КХД-модели, учитывающей эффекты длины формирования адронов и “цветовой прозрачности” ядер. Сечения реакций  $\pi^+, K^+ + A \rightarrow K_s^0 + X$  описаны в рамках модели кварк-глюонных струн, что делает обоснованным расширение применимости модели в области энергий меньше 100 ГэВ.

Созданы новые методы анализа калориметрической информации: беспараметрический метод определения энергии адронов в комбинированном калориметре; метод измерения нескомпенсированности электромагнитного калориметра; метод трехмерной параметризации адронных ливней.

Получены отсутствовавшие ранее данные о пространственном развитии адронного ливня ( $h^\pm A \rightarrow X$ ) в железно-сцинтилляционных калориметрах и результаты исследования характеристик адронного tile калориметра, а также всего калориметрического комплекса эксперимента АТЛАС в пучках пионов и электронов с энергиями от 10 до 300 ГэВ.

**Практическая ценность.** Результаты измерений сечений могут быть использованы при разработке программ исследований адрон-ядерных и ядро-ядерных взаимодействий на Большом адронном коллайдере, других современных ускорителях и в физике космических лучей,

<sup>6)</sup> По инициативе и при лидирующем участии автора ведется измерение неизвестных неупругих сечений этих процессов на Fe при энергиях от 10 до 300 ГэВ с использованием экспериментальных данных, полученных на адронном калориметре.

а также для детального моделирования адронных ливней. Теоретический анализ полученных экспериментальных данных проясняет роль эффектов длины формирования адронов и “цветовой прозрачности” ядер в мягких адрон-ядерных взаимодействиях и будет полезен при планировании исследований динамики сильных взаимодействий в других реакциях и в более широкой области энергий.

Создан беспараметрический метод определения энергии адронов в комбинированном калориметре, который будет использован для отбора событий на уровне триггера первого уровня в эксперименте АТЛАС на Большом адронном коллайдере (ЦЕРН).

Создан метод параметризации, учитывающий трехмерную структуру адронного ливня, который в настоящее время используется при создании программы быстрого моделирования и может быть применен для улучшения двух-ливневого разделения и решения других задач калориметрии, требующих интегрирования по объему.

Предложенные новые методы анализа калориметрической информации, разработанное программное обеспечение и полученные новые результаты исследований характеристик калориметров могут быть полезны при разработке, тестовых испытаниях и калибровке адронных и комбинированных калориметров.

#### **Основные положения, выносимые на защиту:**

1. Результаты завершенного экспериментального исследования, выполненного с применением разработанных методик и программного обеспечения: дифференциальные сечения реакций  $\pi^+ + Be, Cu \rightarrow K_s^0 + X$  и дваждыдифференциальные сечения реакций  $K^+ + Be, Cu, Pb \rightarrow K^0, K^*(892)^0 + X$  в области фрагментации налетающих мезонов при энергии 11,2 ГэВ. Полученные данные остаются единственными.
2. Результаты теоретического анализа мягких процессов в адрон-ядерных взаимодействиях в рамках современных кварк-глюонных моделей.
3. Новые методические разработки и полученные на их основе результаты измерения важных характеристик адронного, электромагнитного и комбинированного калориметров эксперимента АТЛАС в пучках заряженных пионов и электронов.
4. Результаты экспериментального исследования пространственного развития адронного ливня в железо-сцинтилляционном калориметре.
5. Результаты исследования базовых характеристик калориметрического комплекса эксперимента АТЛАС методом моделирования.

**Личный вклад соискателя.** Диссертация написана на основе за-

вершенных научных работ, выполненных автором в Лаборатории ядерных проблем ОИЯИ, ИФВЭ (Протвино), Институте физики НАН Республики Беларусь (Минск) и ЦЕРН (Женева) в 1980 – 2000 гг. Автору диссертации принадлежит значительный, и в ряде разделов диссертации определяющий, вклад как в постановку задач, так и в их решение.

**Апробация результатов диссертации.** Изложенные в диссертации материалы докладывались автором на научных семинарах Лаборатории ядерных проблем ОИЯИ, ИФ НАНБ (Минск), ИЭФ САН (Кошице); на международных совещаниях сотрудничества Гиперон (1983 – 1989 г.); в ЦЕРН на международных конференциях коллaborации АТЛАС (1995 – 2000 г.); на заседаниях специализированных комитетов ОИЯИ; на международном совещании Беларусь – ЦЕРН по экспериментам на Большом адронном коллайдере (Минск, 1996); на международной конференции “Структура адронов” (Стара-Лесна, Словакия, 1998 г.); на 8-ой (Лиссабон, Португалия, 1999 г.) и 9-ой (Анси, Франция, 2000 г.) международных конференциях по калориметрии в физике высоких энергий. Цикл работ автора с коллегами по исследованию эффектов экранирования цвета в адрон-ядерных взаимодействиях отмечен первой премией ОИЯИ за 1991 год.

**Публикации.** Экспериментальные, теоретические и методические исследования, положенные в основу диссертации, выполнены в 1980 – 2000 гг. и опубликованы в научных журналах, трудах конференций, препринтах ОИЯИ и ЦЕРН [1] – [26].

**Структура и объем диссертации.** Диссертация состоит из введения, семи глав и заключения. Работа изложена на 170 страницах, включая 101 рисунок и 20 таблиц. Библиографический список содержит 217 наименований.

## Содержание диссертации

**Во введении** обоснована актуальность исследования адронизации кварков в адрон-ядерных взаимодействиях при высоких энергиях и принципиальная необходимость использования адронных калориметров в современных коллайдерных экспериментах.

**В первой главе** дано описание установки “Гиперон” [1] в варианте рис. 1A, условий проведения эксперимента по исследованию инклузивных процессов (1) – (3). Разрешение спектрометра вторичных частиц по эффективной массе найдено равным  $2,6 \pm 0,3$  МэВ в области масс  $K_s^0$ . Предложена процедура и проведен расчет точностных характеристик спектрометра, в результате построены функции разрешения

по эффективной массе систем  $(K^+\pi^-)$ - и  $(\pi^+\pi^-)$ -мезонов [2]. Разработана и использована система программ анализа информации с нашей установки [3], учитывающая особенности спектрометра и кинематику изучаемых процессов, обеспечившая быструю и эффективную ( $97 \pm 2\%$ ) обработку экспериментальных данных. Аксептанс установки рассчитывался с использованием метода существенной выборки, что позволило повысить его точность, сократив время счета для одного события. Триггерная эффективность определена по распадам  $K^+ \rightarrow \pi^+\pi^+\pi^-$ . Эффективность регистрации двухлучевого события найдена равной  $78 \pm 2\%$  [4]. В результате анализа спектров  $\pi^+\pi^-$  и  $K^+\pi^-$ -мезонов получены несмещенные значения масс  $K_s^0$  и  $K^*(892)^0$  [5].

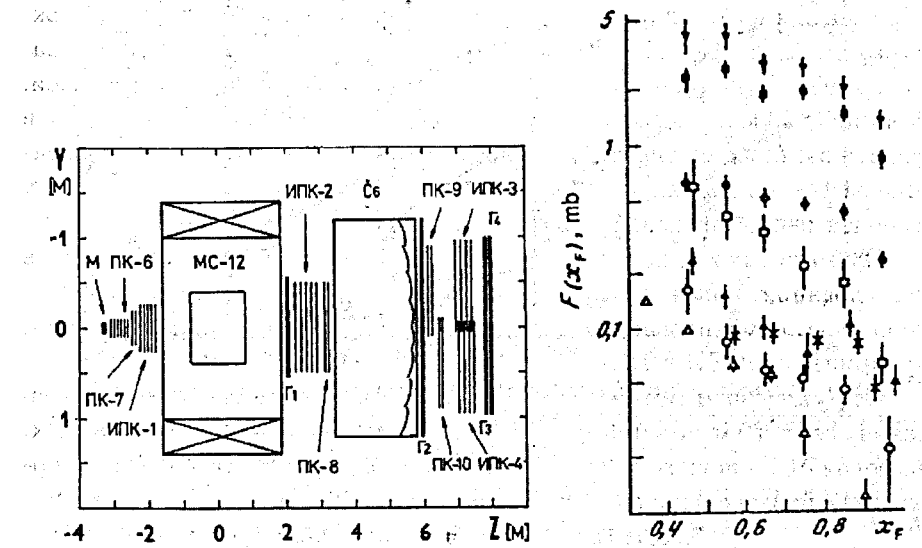


Рисунок 1: А) Спектрометр вторичных частиц установки Гиперон. Б) Дифференциальные сечения  $F(x_f)$  инклузивного образования  $K_s^0$ -мезонов при 11,2 ГэВ ( $p_t < 0,3$  ГэВ/с) в реакциях (1) ( $\circ - \pi^+Be$ ,  $\square - \pi^+Cu$ ), (2) ( $\bullet - K^+Be$ ,  $\blacksquare - K^+Cu$ ,  $\blacktriangledown - K^+Pb$ ),  $K^+p \rightarrow K_s^0 + X$  ( $\blacktriangle$ ).  $\times$  – данные для реакции  $K^+p \rightarrow K_s^0 + X$  при 16 ГэВ<sup>7</sup>,  $\Delta$  – данные для реакции  $\pi^+p \rightarrow K_s^0 + X$  (P.Bosetti et al., NP B94, 1975, 21) при 16 ГэВ.

**Во второй главе** представлены результаты измерения инвариантных дифференциальных сечений  $F(x_f)$  процессов инклузивного образования  $K_s^0$ -мезонов на ядрах в области фрагментации налетающего

$\pi^+$ -мезона при 11,2 ГэВ (рис. 1Б) [6]. В этой области,  $x_f > 0.4$ , нет иных данных для реакций (1) ни при каких других энергиях. На рис. 1Б приведены также измеренные нами дифференциальные сечения реакции  $K^+ p \rightarrow K^0 + X$  при 11,2 ГэВ, хорошо согласующиеся с данными в том же диапазоне  $p_t$  при 16 ГэВ<sup>7)</sup>, что свидетельствует об отсутствии существенных систематических погрешностей в наших результатах.

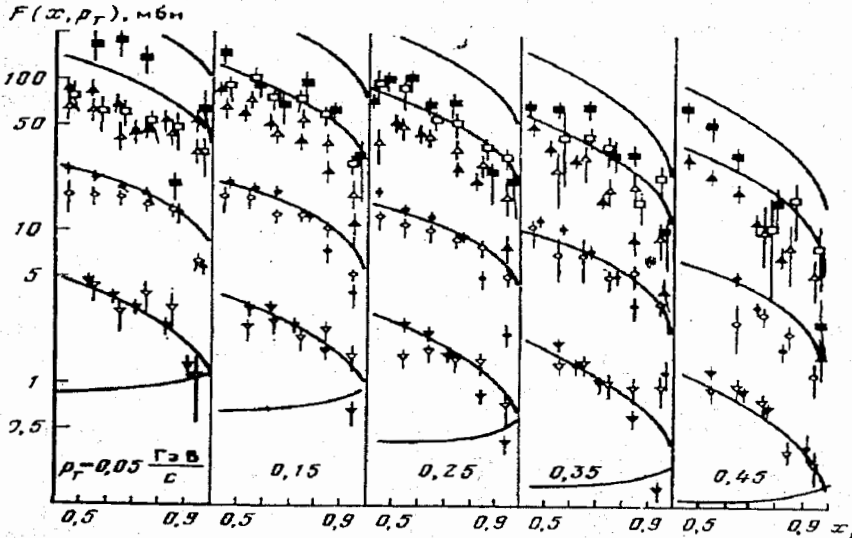


Рисунок 2: Дваждыдифференциальные инвариантные сечения  $F(x_f, p_t)$  для процессов (2) при 11,2 ГэВ ( $\circ - K^+ Be$ ,  $\Delta - K^+ Cu$ ,  $\square - K^+ Pb$ ),  $K^+ p \rightarrow K^0 + X$  ( $\nabla$ ) при 16 ГэВ (P.V.Chliapnikov et al., NP B88, 1975, 191) и расчет в рамках Монте-Карло версии МКГС ( $\blacktriangledown - K^+ p$ ,  $\bullet - K^+ Be$ ,  $\blacktriangle - K^+ Cu$ ,  $\blacksquare - K^+ Pb$ ), кривые – расчет в рамках аналитической версии МКГС без учета поглощения вторичных  $K^0$ -мезонов.

Измерены дваждыдифференциальные инвариантные сечения  $F(A, x_f, p_t)$  процессов инклюзивного образования  $K^0$  мезонов на ядрах в области фрагментации налетающего положительного каона при 11,2 ГэВ (рис. 2) [7, 8]. Для этих реакций не существует других измерений дваждыдифференциальных сечений. Сечения  $F(x_f)$  для реакций (2) приведены на рис. 1Б. Автором предложена феноменологическая формула

$$F(A, x_f, p_t) = A^{\alpha - \beta \ln A} \cdot (1 - x_f)^n \cdot e^{-Bp_t^2}, \quad (4)$$

<sup>7)</sup> G.Ciapetti et al., NP B89 (1975) 365.

позволившая описать всю совокупность измеренных нами сечений реакций  $K^+ + A \rightarrow K^0 + X$ .

Зарегистрирован рост отношения сечений образования  $K^0$ -мезонов в  $K^+$  и  $\pi^+$  пучках на ядрах при  $x_f \rightarrow 1$ , объясняемый в модели кварт-глюонных струн<sup>8)</sup> различием в поведении функций фрагментации валентных, для реакций (2), и морских, для реакций (1),  $s$ -кварков [9].

Впервые измерены дваждыдифференциальные инвариантные сечения  $F(A, x_f, p_t)$  процессов инклюзивного образования  $K^*(892)^0$ -мезонов на ядрах в области фрагментации налетающего положительного каона при 11,2 ГэВ (табл. 1) [7, 10]. Для этих реакций нет других измерений ни при каких энергиях. Для реакций (3) при  $p_t < 0,2$  ГэВ/с в области  $x_f \rightarrow 1$  обнаружен рост дваждыдифференциальных сечений, связанный с процессом дифракционного образования  $K^*(892)^0\pi$  системы. При  $p_t > 0,2$  ГэВ/с характер поведения дваждыдифференциальных сечений приобретает вид  $(1 - x_f)^{0,2}$ . Зависимость сечений от  $p_t^2$  описывается функцией  $e^{-Bp_t^2}$ . Обнаружен рост параметра  $B$  при увеличении  $x_f$ , который связан с увеличением вклада дифракционных процессов.

Таблица 1: Сечения реакций (3).  $p_t$  приведены в (ГэВ/с).

$x_F$	0,45	0,55	0,65	0,75	0,85	0,95
$p_T$	$F(x_f, p_t)$ (мбн)					
0,05	$115 \pm 27$	$85 \pm 15$	$85 \pm 13$	$78 \pm 12$	$114 \pm 11$	$98 \pm 9$
0,15	$96 \pm 22$	$73 \pm 9$	$63 \pm 8$	$76 \pm 6$	$81 \pm 4$	$68 \pm 9$
0,25	$95 \pm 25$	$74 \pm 13$	$64 \pm 9$	$60 \pm 5$	$53 \pm 3$	$36 \pm 3$
0,35	—	$57 \pm 20$	$43 \pm 10$	$31 \pm 6$	$28 \pm 3$	$21 \pm 2$
0,45	—	—	$36 \pm 9$	$24 \pm 10$	$15 \pm 4$	$9 \pm 2$
0,05	$297 \pm 136$	$314 \pm 80$	$283 \pm 58$	$339 \pm 67$	$351 \pm 45$	$370 \pm 31$
0,15	$323 \pm 127$	$209 \pm 61$	$274 \pm 55$	$281 \pm 45$	$276 \pm 33$	$240 \pm 24$
0,25	$339 \pm 193$	$404 \pm 72$	$290 \pm 57$	$200 \pm 35$	$194 \pm 18$	$116 \pm 13$
0,35	—	—	$293 \pm 165$	$125 \pm 41$	$79 \pm 31$	$53 \pm 10$
0,45	—	—	$162 \pm 98$	$95 \pm 95$	$85 \pm 34$	$57 \pm 27$
0,05	$924 \pm 377$	$693 \pm 176$	$735 \pm 204$	$558 \pm 170$	$771 \pm 118$	$877 \pm 85$
0,15	$1005 \pm 565$	$754 \pm 136$	$288 \pm 112$	$558 \pm 85$	$570 \pm 65$	$537 \pm 50$
0,25	$976 \pm 332$	$433 \pm 282$	$535 \pm 111$	$494 \pm 120$	$409 \pm 44$	$274 \pm 34$
0,35	—	$452 \pm 285$	$359 \pm 124$	$403 \pm 128$	$195 \pm 61$	$146 \pm 34$
0,45	—	—	$393 \pm 141$	$295 \pm 141$	$129 \pm 80$	$116 \pm 73$

Нами проведен расчет дифференциальных сечений  $F(x_f)$ ,  $d\sigma/dp_t^2$  для реакций (2) и (3) в рамках кварт-партонной модели FRITIOF. Сравнение с нашими экспериментальными результатами показало, что

<sup>8)</sup> Н.Амелин, ЯФ, 51 (1990) 211.

модельные расчеты согласуются с данными для реакций (3) и превышают более чем в два раза по величине сечение реакций (2), что свидетельствует о необходимости усовершенствования данной модели.

Автором проведена аппроксимация измеренных дифференциальных сечений реакций (2) и (3) зависимостью

$$\frac{d^2\sigma}{dx_f dp_t^2} = \sigma_0(x_f, p_t) \cdot A^{\alpha(x_f, p_t)}. \quad (5)$$

В пределах погрешностей величины  $\alpha(x_f, p_t)$  не зависят от  $x_f$  и  $p_t$ . Значения параметров  $\alpha(x_f)$  для реакций  $K^+A \rightarrow K^*(892)^0X$  на  $\simeq 15$  выше, чем для  $K^+A \rightarrow K^0X$ . Это является первым наблюдением подобного рода и нуждается в теоретической интерпретации.

В третьей главе приведены результаты расчетов дифференциальных сечений для реакций (2) [9] в рамках Монте-Карло версии модели квark-глюонных струн<sup>8)</sup> (МКГС). Результаты находятся в удовлетворительном согласии с нашими детальными экспериментальными данными, что расширило применимость МКГС как для описания каон-ядерных взаимодействий, так и для энергий меньше 100 ГэВ. Также наблюдается удовлетворительное согласие расчетов автора в

$F(x_f)$ , mb

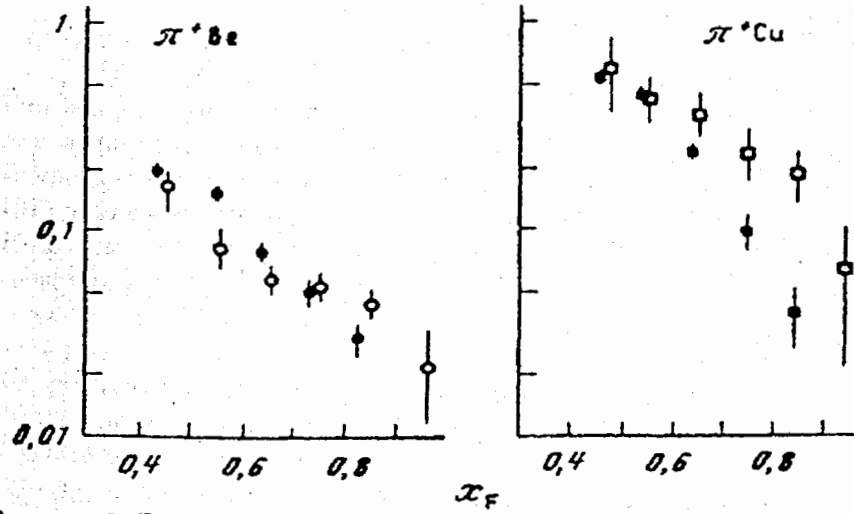


Рисунок 3: Экспериментальные значения (○) измеренных дифференциальных сечений реакций (1) и расчеты (●) в рамках МКГС.

рамках МКГС для дифференциальных сечений реакции  $\pi^+ + Be \rightarrow$

$K_s^0 + X$  с нашими экспериментальными данными (рис. 3). В то же время для реакции  $\pi^+ + Cu \rightarrow K_s^0 + X$  падение теоретических сечений с увеличением  $x_f$  существенно больше, чем измерено на эксперименте:

Для описания сечений реакций  $K^+A \rightarrow K^0, K^*(892)^0 + X$  проведен анализ вкладов в дифференциальные сечения  $F(x_f)$  от  $K^0$ - и  $K^*(892)^0$ -мезонов, образованных в результате распада резонансов  $K^*(1430) \rightarrow K^*(892)^0\pi$  и  $K^*(892) \rightarrow K^0\pi$  или дифракционного рождения  $K^*(892)^0\pi$  (распадные), либо непосредственно в процессе  $K^+A$ -взаимодействия (прямые) [11]. Сечения образования распадных  $K^0$ - и  $K^*(892)^0$ -мезонов рассчитаны с использованием экспериментальных данных.

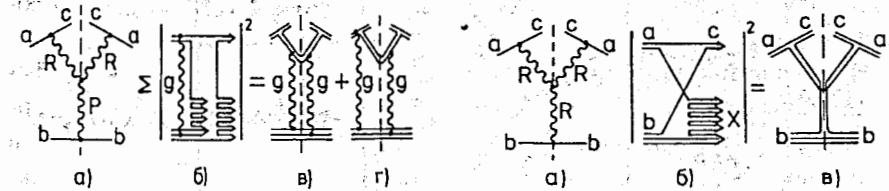


Рисунок 4: А) Трехреджционный график RRP (a) и соответствующие цилиндрические диаграммы (б, в, г). Б) Трехреджционный график RRR (a) и соответствующие планарные диаграммы (б, в).

Рассмотрены основные квакровые диаграммы для описания прямых  $K^0$ - и  $K^*(892)^0$ -мезонов: цилиндрические (рис. 4А) и планарные (рис. 4Б). Они рассчитываются в рамках модели, учитывающей при адронизации лидирующего  $\bar{s}$ -кварка эффект взаимного "экранирования цветов" кварков в адроне, перерассеяние несформировавшегося адронного состояния (струны) в ядерной среде и длину формирования вторичного адрона. Процесс адронизации для цилиндрической диаграммы (рис. 4А) происходит следующим образом: в результате взаимодействия налетающего адрона с нуклоном валентные кварки адрона образуют с кварками нуклона две струны, которые фрагментируют затем в адроны. Процесс адронизации для планарной диаграммы (рис. 4Б) таков: кварки налетающего адрона находятся в сильно асимметричной по импульсам конфигурации, так как один из кварков несет почти весь импульс. Вероятность такой конфигурации подавлена фактором  $1/\sqrt{s}$ .

Инвариантные сечения процессов (2) и (3) аппроксимированы зависимостью

$$F(x_f) = \alpha \cdot \left( F^{RRP}(x_f) + \frac{\beta}{\sqrt{s/(1 \text{ ГэВ}^2)}} \cdot F^{RRR}(x_f) \right)_{\text{прям.}} + F(x_f)_{\text{расп.}}, \quad (6)$$

где  $\alpha_{K^0} = 0.007 \pm 0.001$ ,  $\alpha_{K^*(892)^0} = 0.017 \pm 0.002$ , а  $\beta$  имеет смысл отношения реджевских вершинных функций и определяет относительный вклад планарных диаграмм. Наилучшее описание данных достигается при  $\beta = 1.1 \pm 0.2$ , что согласуется с ранее полученной для других реакций величиной этого параметра.

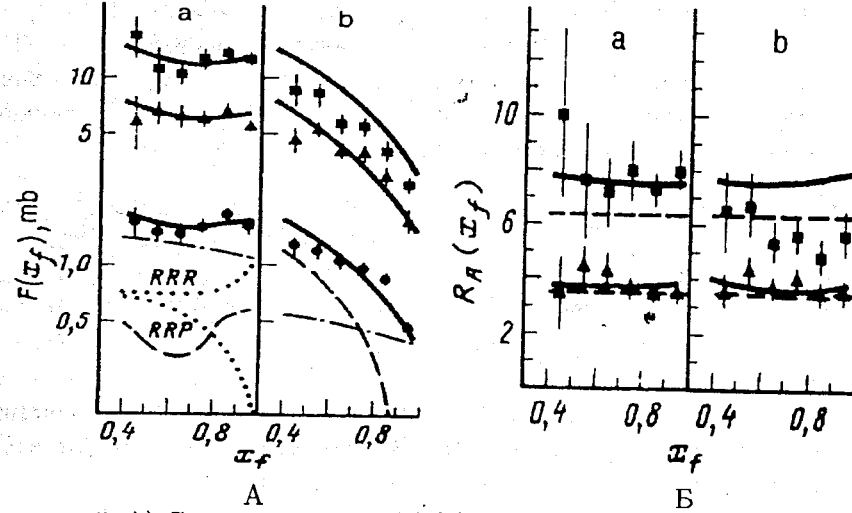


Рисунок 5: А) Сечения реакций (3) [а], (2) [б] и их модельное описание. Б) Отношения сечений процессов (3) [а], (2) [б] и их модельное описание. Пунктирные кривые – расчет в приближении Глаубера-Ситенко.

В результате проведенного анализа впервые описаны сечения  $F(x_f)$  исследованных процессов  $K^+ + A \rightarrow K^0, K^*(892)^0 + X$  (рис. 5А), их отношения (рис. 5Б) и установлено, что вклад в сечения планарных диаграмм превышает вклад цилиндрических при энергиях  $\simeq 10$  ГэВ.

Автором зарегистрирован рост отношений сечений для реакций  $K^+ + A \rightarrow K^*(892)^0 + X$  и  $K^+ + A \rightarrow K^0 + X$  на одинаковых ядрах при  $x_f \rightarrow 1$ , который в диссертации объяснен поведением сечений образования  $K^*(892)^0$ - и  $K^0$ -мезонов в результате распада дифракционных систем и резонансов, соответственно, и прекрасно описывается в рамках модели.

В четвертой главе описан калориметрический комплекс эксперимента АТЛАС (рис. 6) и требования, предъявляемые к калориметрии физическими задачами по поиску хиггсовских бозонов и структуры кварков, прецизионному измерению массы  $t$ -кварка и другими.

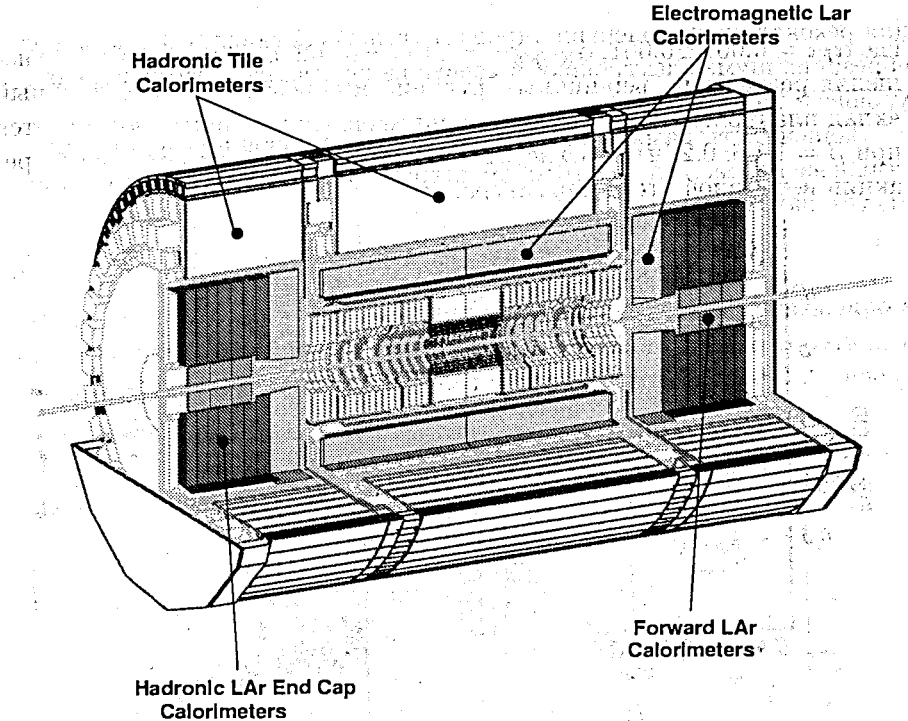


Рисунок 6: Калориметрический комплекс эксперимента АТЛАС.

Автором предложено обобщение “benchmark” метода реконструкции энергии адронов в комбинированном калориметре для калориметрического комплекса эксперимента АТЛАС [12]:

$$E_{rec} = \sum [\alpha_i E_h^i + \beta_i E_{em}^i + \gamma_i (E_{em}^i)^2 + \delta_i \sqrt{E_{em3}^i E_{h1}^i}] + \kappa E_{ITC} + \lambda E_{scint}, \quad (7)$$

где  $\alpha_i, \beta_i, \gamma_i, \delta_i, \kappa, \lambda$  – параметры;  $E_h^i, E_{em}^i, E_{ITC}, E_{scint}$  – сигналы от различных частей калориметрического комплекса,  $i$  – центральный и торцевые калориметры.

С использованием этого метода, на данных моделирования, для одиночных заряженных адронов в широком диапазоне энергий, от 20 до 1000 ГэВ, и псевдодыбыстрот, до 3, получены первые наиболее полные сведения об энергетическом разрешении и линейности калориметрического комплекса эксперимента АТЛАС. Определен радиус конуса

$$\Delta R = \sqrt{\Delta^2\eta + \Delta^2\phi} \quad (8)$$

для реконструкции энергии адрона, который составил 0,3, а критерий обрезания шума электроники в ячейке калориметра оптимизирован на уровне  $\geq 2\sigma_{noise}$ .

Зависимость разрешения от энергии для пионов при  $\eta = 0,3$  представлена на рис. 7А, на котором штрих-пунктирная кривая соответствует разрешению

$$\frac{\sigma}{E} = \frac{50\%}{\sqrt{E}} \oplus 3,4\% \oplus \frac{1}{E} \quad (9)$$

и описывает данные, полученные при реконструкции энергии адронов в конусе с радиусом  $\Delta R = 0,3$  и подавлении шума электроники на уровне  $\geq 2\sigma_{noise}$  в каждой ячейке калориметрического комплекса.

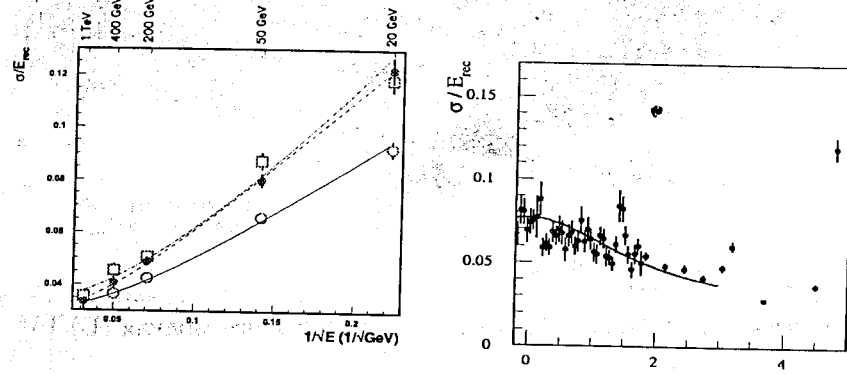


Рисунок 7: А) Энергетическое разрешение для адронов при  $\eta = 0,3$ . Б) Энергетическое разрешение для адронов с  $E_T = 50$  ГэВ.

Исследовано энергетическое разрешение и линейность для адронов с постоянными поперечными энергиями 20 и 50 ГэВ в диапазоне псевдодыбыстрот от -0,2 до 3. На рис. 7Б представлено разрешение калориметра для пионов с  $E_T = 50$  ГэВ, где линия соответствует разрешению

$$\frac{\sigma}{E} = \frac{50\%}{\sqrt{E}} \oplus 3\%. \quad (10)$$

Наблюдаемое ухудшение в  $\simeq 1,5$  раза энергетического разрешения в области  $\eta = 1,3$ , связано с потерей энергии адронного ливня в "мертвом" веществе между центральной и периферийной частями калориметрического комплекса. Отклонение от номинальной энергии в зависимости от энергии и псевдодыбыстрооты находится в пределах  $\pm 2\%$ .

В итоге выполненного нами исследования получен результат принципиального значения: показано, что для одиночных заряженных адронов с энергией до 1 ТэВ калориметрический комплекс установки ATLAS в области  $|\eta| < 3$  соответствует физическим требованиям эксперимента. Полученные нами сведения оценены коллаборацией как существенные и вошли в ее базовый документ<sup>9)</sup>.

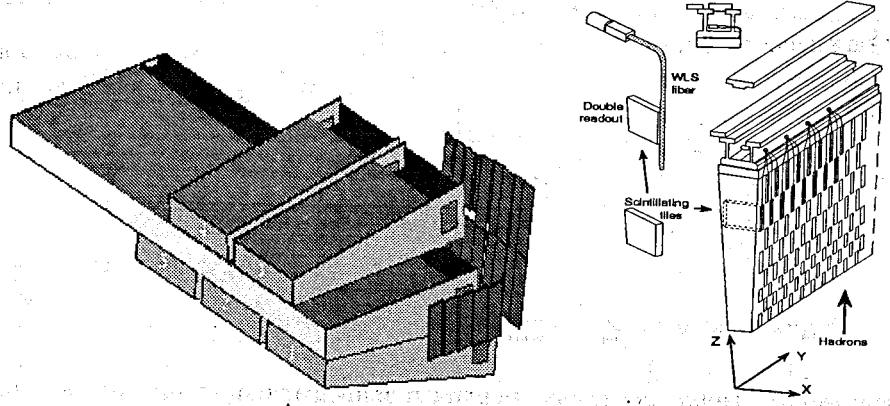


Рисунок 8: Установка для исследования "модуля-0" адронного tile калориметра (А) и схематическое изображение этого модуля (Б).

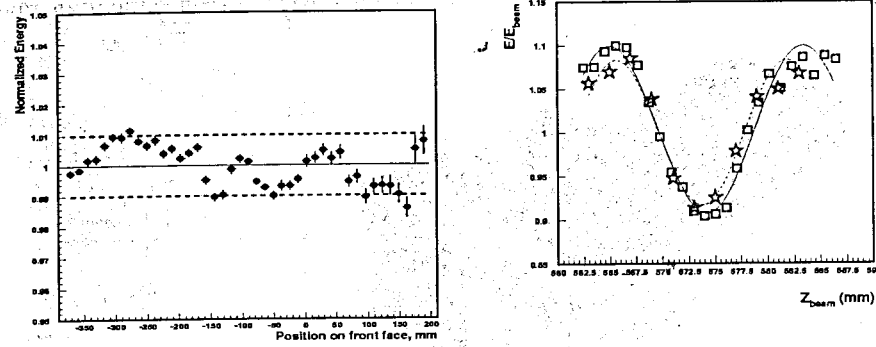
В пятой главе приведены результаты исследования характеристик адронного tile калориметра эксперимента ATLAS при облучении в пучках электронов и пионов с энергиями от 10 до 300 ГэВ на ускорителе СПС ЦЕРН (рис. 8А) [13]. На рис. 8Б изображен концептуальный вид модуля железо-сцинтилляционного адронного tile калориметра с продольным расположением детектирующих элементов [14].

Нами исследовано ранее неизвестное влияние на энергетическое разрешение и линейность адронного калориметра продольной и поперечной утечки адронного ливня за его пределы [15]. Показано, что доля теряемой энергии составляет 1,8 ГэВ для пионов с энергией 100 ГэВ. Автором обнаружен новый эффект, выражющийся в улучшении энергетического разрешения калориметра при боковой утечке адронного ливня (6% утечки энергии приводит к 18% улучшению разрешения по энергии), что дало толчок к развитию нового метода реконструкции

<sup>9)</sup> A.Airapetian, ..., Y.Kulchitsky et al., ATLAS Detector and Physics Performance Technical Design Report, CERN/LHCC/99-14, 1999.

энергии в адронных калориметрах<sup>10)</sup>.

С использованием специального "сканирования" пучком  $\pi$ -мезонов вдоль продольной оси калориметра исследована однородность его отклика. Автором получена рекордная для tile калориметра линейность  $RMS = 0,7\%$  вдоль продольной оси (рис. 9А). Отклонение средней энергии от номинальной стало меньше в 2 раза, чем было ранее.



А

Б

Рисунок 9: Нормированная энергия в зависимости от продольной координаты калориметра для пионов (А) и для электронов (Б), где экспериментальные данные –  $\square$ , модельный расчет –  $\star$ .

Автором разработан и применен метод реконструкции энергии электронов, учитывающий структуру tile калориметра [16]. Объяснена синусоидальная зависимость измеренной энергии электрона от продольной координаты калориметра [17] (рис. 9Б), связанная с различным энерговыделением при попадании электрона в абсорбирующий и детектирующий материалы калориметра. Созданный метод позволил откалибровать энергетическую шкалу адронного калориметра, измерить его энергетическое разрешение для электронов, составившее

$$\frac{\sigma}{E} = \frac{(33 \pm 2)\%}{\sqrt{E}} \oplus (1,0 \pm 0,5)\% \quad (11)$$

при  $\eta = -0,55$ , и с лучшей точностью определить величину важнейшей внутренней характеристики калориметра — нескомпенсированности,

$$e/h = 1,36 \pm 0,01 \pm 0,01, \quad (12)$$

<sup>10)</sup> S.Tokar et al., ATL-TILECAL-2000-008, 2000, CERN, Geneva, Switzerland.

отражающей различие в отклике калориметра на электромагнитную и адронную составляющие адронного ливня.

Полученные в данной главе результаты оценены коллаборацией TILECAL как существенные и вошли в ее базовый документ [13].

Шестая глава посвящена исследованию пространственного развития адронного ливня в железо-сцинтилляционном tile калориметре (рис. 10) [18, 19]. Разработан и применен новый метод описания про-

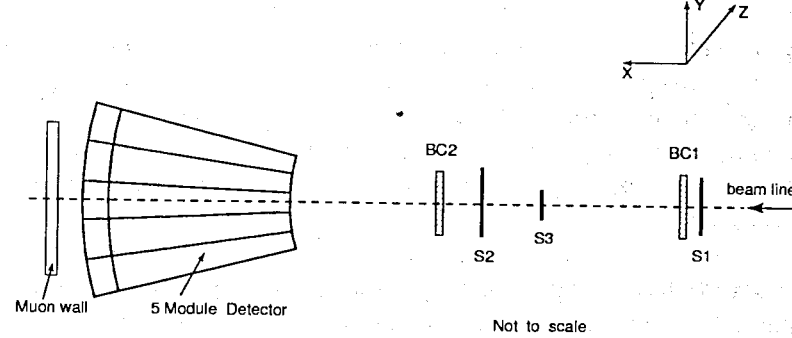


Рисунок 10: Установка для исследования прототипа tile калориметра.

странственного развития адронного ливня, основанный на полученных нами аналитических формулах. Для описания поперечного развития адронного ливня выведена формула для плотности энергии в зависимости от радиуса ливня

$$\Phi(r) = \frac{E_0}{2\pi B} \cdot \sum_{i=1}^3 \frac{a_i}{\lambda_i} \cdot K_0\left(\frac{r}{\lambda_i}\right), \quad (13)$$

где  $K_0(r/\lambda_i)$  есть модифицированная функция Бесселя,  $E_0$ ,  $a_i$ ,  $\lambda_i$  являются параметрами,  $B = \sum_{i=1}^3 a_i \lambda_i$ ,  $\sum_{i=1}^3 a_i = 1$ . В этой формуле первое слагаемое соответствует электромагнитной составляющей адронного ливня, а второе и третье слагаемые – жесткой и мягкой адронным составляющим адронного ливня.

Для описания продольного развития адронного ливня от начала калориметра выведена формула [20]

$$dE(x)/dx = N \cdot \left( \left( \frac{wX_0}{a} \right) \left( \frac{x}{X_0} \right)^a \cdot e^{-\frac{bx}{X_0}} \cdot {}_1F_1\left(1, a+1, \left(b - \frac{X_0}{\lambda_I}\right) \frac{x}{X_0}\right) \right. \\ \left. + \left( \frac{(1-w)\lambda_I}{a} \right) \left( \frac{x}{\lambda_I} \right)^a \cdot e^{-\frac{dx}{\lambda_I}} \cdot {}_1F_1\left(1, a+1, \frac{(d-1)x}{\lambda_I}\right) \right), \quad (14)$$

где  ${}_1F_1$  есть вырожденная гипергеометрическая функция,  $N$  – нормировка,  $a, b, d, w$  являются параметрами,  $X_0$  – радиационная длина и  $\lambda_I$  – ядерная длина взаимодействия.

В результате трехмерная параметризация пространственного развития адронного ливня выражается в виде

$$\Psi(x, r) = \frac{dE(x)}{dx} \cdot \frac{\sum_{i=1}^3 \frac{a_i(x)}{\lambda_i(x)} \cdot K_0\left(\frac{r}{\lambda_i(x)}\right)}{2\pi \sum_{i=1}^3 a_i(x) \lambda_i(x)} \quad (15)$$

Определенная таким образом пространственная параметризация ливня внедряется автором с коллегами в алгоритм быстрого моделирования адронных ливней; она полезна для определения координат адронов, улучшения разделения ливней и для решения других калориметрических задач, в которых требуется проведение интегрирования по объему калориметра.

Поперечное развитие адронного ливня изучалось на специальной калориметрической сборке (рис. 10) при облучении ее 100 ГэВ пионами под углом  $10^\circ$  в диапазоне  $z$  координат от  $-360$  до  $200$  мм.

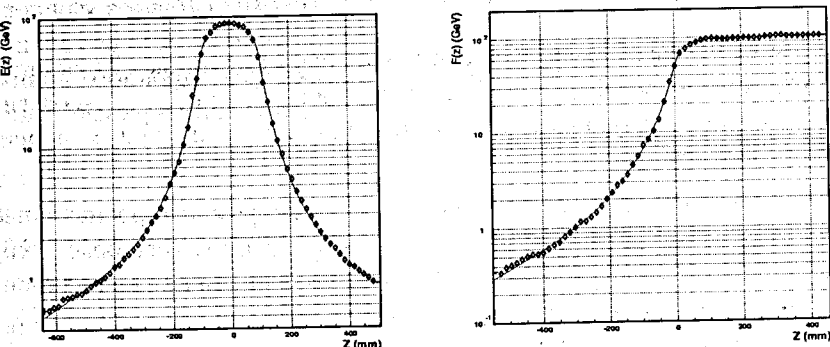


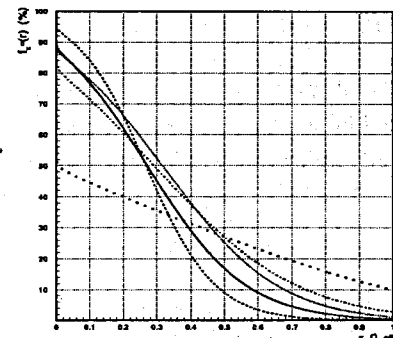
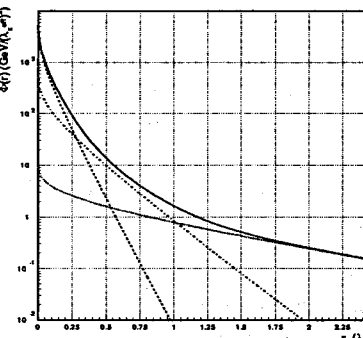
Рисунок 11: Зависимость поперечного энерговыделения в башне калориметра,  $E(z)$ , (А) и кумулятивной функции,  $F(z)$ , (Б) для пионов с энергией 100 ГэВ от  $z$  координаты.

Получены экспериментальные распределения энерговыделения в башне калориметра для четырех глубинных слоев и всего калориметра (рис. 11А), описание которых функциями

$$E(z) = E_0 - \frac{E_0}{B} \cdot \sum_{i=1}^3 a_i \lambda_i \cosh\left(\frac{|z|}{\lambda_i}\right) e^{-\frac{|z|}{2\lambda_i}}, \text{ при } |z| \leq \frac{h}{2}, \quad (16)$$

$$E(z) = \frac{E_0}{B} \cdot \sum_{i=1}^3 a_i \lambda_i \sinh\left(\frac{h}{2\lambda_i}\right) e^{-\frac{|z|}{\lambda_i}}, \text{ при } |z| > \frac{h}{2}, \quad (17)$$

( $z$  – поперечная координата центра башни,  $h$  – поперечный размер башни) дало возможность определить параметры поперечного развития адронного ливня.



А

Б

Рисунок 12: А) Зависимость радиальной плотности энергии адронного ливня (сплошная кривая) от радиуса. Б) Зависимость электромагнитной составляющей адронного ливня,  $f_{\pi^0}$ , от радиуса адронного ливня. Сплошная кривая – для всего калориметра, остальные кривые – для его глубинных слоев.

Для описания поперечного профиля ливня автором построены ранее неиспользовавшиеся для адронных калориметров кумулятивные энергетические распределения (рис. 11Б), аппроксимированные полученными нами функциями

$$F(z) = \frac{E_0}{2B} \cdot \sum_{i=1}^3 a_i \lambda_i e^{\frac{z}{\lambda_i}}, \text{ при } z \leq 0, \quad (18)$$

$$F(z) = E_0 - \frac{E_0}{2B} \cdot \sum_{i=1}^3 a_i \lambda_i e^{-\frac{z}{\lambda_i}}, \text{ при } z > 0, \quad (19)$$

где  $z$  – координата края башни вдоль поперечной оси. Данный способ позволяет измерить поперечный профиль адронного ливня независимо от ширины башни калориметра.

В результате применения созданного метода для железо-сцинтилляционных калориметров получены, ранее неизвестные, данные о плотности энергии адронного ливня в зависимости от его радиуса,  $\Phi(r)$ , как для всего калориметра (рис. 12А), так и в зависимости от продольной координаты. Сравнение нашего результата с единственным известным измерением  $\Phi(r)$ , полученным другим методом для свинцово-сцинтилляционного калориметра, показало, что функции  $\Phi(r)$  имеют подобный вид, но не совпадают, так как калориметры существенно конструктивно различаются. На основе полученной информации определена электромагнитная составляющая адронного ливня,  $f_{\pi^0}(r)$ , получаемая в результате образования  $\pi^0$ -мезонов (рис. 12Б), и зависимость радиальных размеров адронного ливня от продольной координаты. Для 99% энерговыделения радиус адронного ливня составляет

$$r(99\%) = (349 \pm 7) + (22 \pm 2) \cdot x \text{ (мм).} \quad (20)$$

Автором получены экспериментальные данные для продольного развития адронных ливней (рис. 13) при облучении установки (рис. 10) пучками пионов с энергиами от 20 до 300 ГэВ. Для сравнения на рис. 13

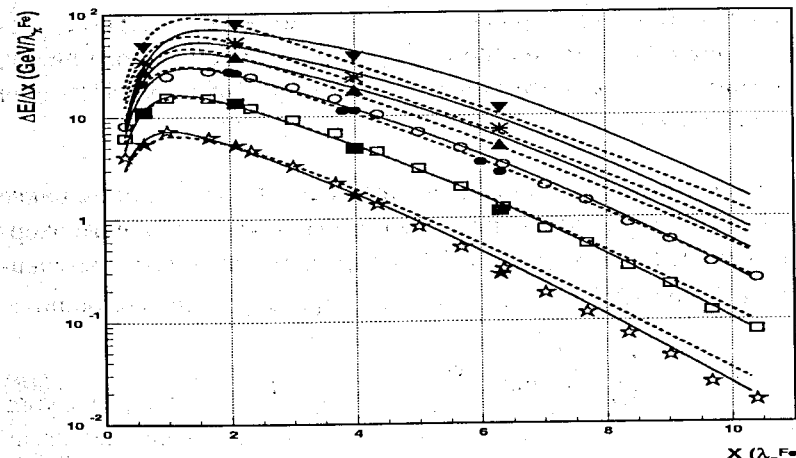


Рисунок 13: Продольные профили адронного ливня для пионов с энергиями 20 ( $\star$ ), 50 ( $\blacksquare$ ), 100 ( $\bullet$ ), 150 ( $\blacktriangle$ ), 200 ( $\ast$ ) и 300 ( $\blacktriangledown$ ) ГэВ.

представлены результаты и для обычного железо-сцинтилляционного калориметра<sup>11)</sup> (20 ГэВ –  $\star$ , 50 ГэВ –  $\square$ , 100 ГэВ –  $\circ$ ). Эксперимен-

<sup>11)</sup> E.Huges, Proceedings of the 1-st Int.Conf. on Calorimetry in HEP, FNAL, 1990.

тальные результаты описаны с использованием выведенной автором функции  $dE(x)/dx$  для продольного профиля адронного ливня от начала калориметра. Использование полученной нами функции  $\Phi(r)$  позволило порознь определить ранее неизвестное продольное развитие электромагнитной и адронной составляющих адронного ливня.

Полученные результаты существенно обогащают раздел “Адронный ливень” в энциклопедической труде<sup>12)</sup> о детекторах частиц.

В седьмой главе реализована программа по исследованию характеристик прототипа комбинированного калориметра эксперимента АТЛАС (рис. 14), состоящего из жидкого-аргонового электромагнитного и железо-сцинтилляционного адронного калориметров, в пучках пионах и электронов с энергиями 10 – 300 ГэВ [21, 22].

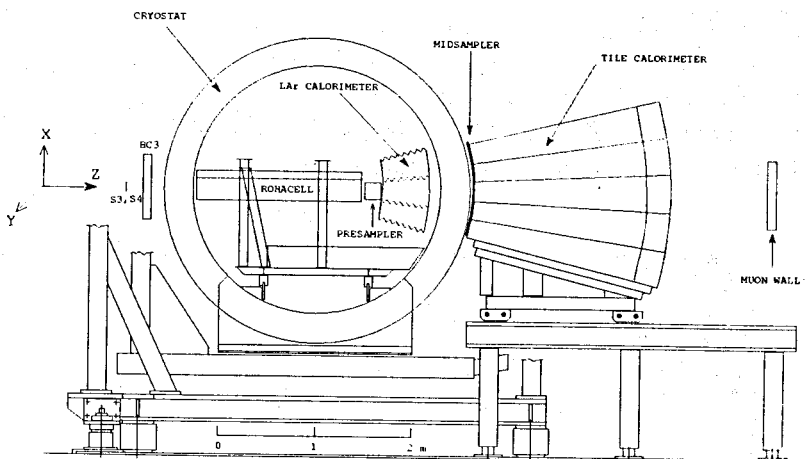


Рисунок 14: Установка для исследования характеристик комбинированного калориметра эксперимента АТЛАС.

Предложен и разработан беспараметрический метод определения энергии адронов в комбинированном калориметре [23], названный нами  $e/h$ -методом. Этот метод основан на учете нескомпенсированности электромагнитного и адронного калориметров, которые являются составными частями комбинированного калориметра. В методе принципиально не используется общепринятая методология, базирующаяся на минимизации соответствующего функционала. Он позволил впервые

<sup>12)</sup> R.K.Bock, A.Vasilescu, The Particle Detector BriefBook, Springer, Berlin, 1998.

получить несмешанные оценки величин энергии во всех сегментах комбинированного калориметра. Энергия определяется, как сумма энергий в электромагнитном и адронном калориметрах, а также энергии, таляемой в криостате между калориметрами:

$$E = \left( \frac{1}{e} \cdot \left( \frac{e}{\pi} \right) \cdot R \right)_{em} + E_{dm} + \left( \frac{1}{e} \cdot \left( \frac{e}{\pi} \right) \cdot R \right)_h, \quad (21)$$

где  $R_{em}$  ( $R_h$ ) – отклик электромагнитной (адронной) частей комбинированного калориметра,  $e_{em}$  и  $e_h$  – нормировочные константы и

$$\frac{e}{\pi} = \frac{\frac{e}{h}}{1 + \left( \frac{e}{h} - 1 \right) \cdot k \cdot \ln E}. \quad (22)$$

На рис. 15А представлена зависимость отношения средней энергии пионов, нормированной к энергии пучка, от номинальной энергии. В рамках  $e/h$ -метода получена рекордная  $\pm 1\%$  линейность относительно среднего значения  $0.995 \pm 0.003$  в интервале энергий 20 – 300 ГэВ [24]. При 10 ГэВ фон от пучковых мюонов приводит к большему отклоне-

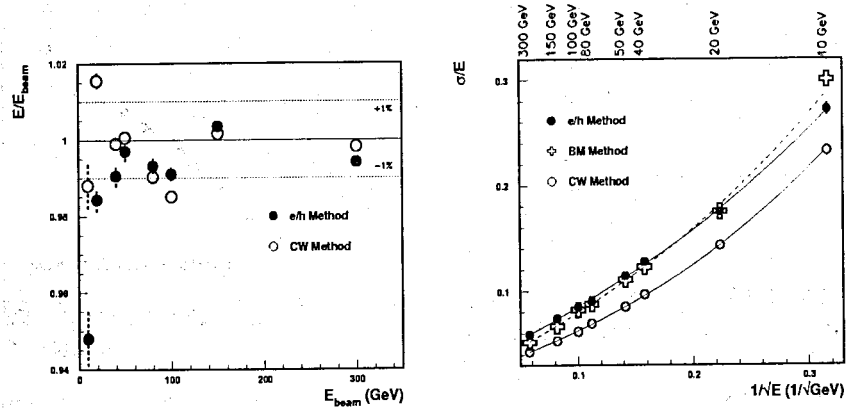


Рисунок 15: А) Энергетическая линейность для (●)  $e/h$ -метода и (○) весового “Cell Weighting” (CW) метода. Б) Энергетическое разрешение для (●)  $e/h$ , (✖) “benchmark” (BM) и (○) весового (CW) методов.

нию от номинальной энергии. Измеренная  $e/h$ -методом энергетическая линейность комбинированного калориметра существенно лучше, чем результат, полученный много параметрическим весовым методом.

Достижение наилучшей энергетической линейности калориметрического комплекса АТЛАС принципиально важно для исследования структуры кварков, точного измерения массы  $t$ -кварка и  $W$ -бозона.

На рис. 15Б представлены зависимости относительного энергетического разрешения от  $1/\sqrt{E}$ , полученные  $e/h$ -методом, “benchmark” методом и весовым методом, являющимся наиболее сложным и точным. Для  $e/h$ -метода относительное разрешение  $\sigma/E$  составляет  $[(58 \pm 3)\%/\sqrt{E} + (2,5 \pm 0,3)\%] \oplus (1,7 \pm 0,2)/E$ , что согласуется с результатом “benchmark” метода и несколько больше, чем для весового метода [22].

Возможность при хорошем энергетическом разрешении с рекордной линейностью определить энергетическую шкалу комбинированного калориметра и простота расчета позволяют внедрить разработанный  $e/h$ -метод для отбора событий на уровне триггера в экспериментах, с масштабным использованием калориметрии, на Большом адронном коллайдере, Теватроне и других современных ускорителях. Метод уже применен для реконструкции энергии адронных струй<sup>13)</sup>, полученных в результате моделирования.

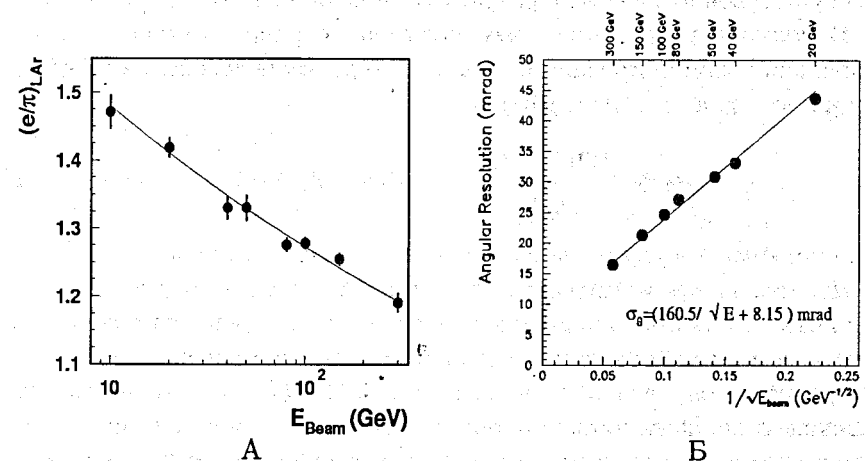


Рисунок 16: А) Зависимость  $(e/\pi)_{LAr}$  от энергии для центрального жидкого-аргонового электромагнитного калориметра эксперимента АТЛАС. Б) Зависимость разрешения комбинированного калориметра эксперимента АТЛАС для полярного угла от  $1/\sqrt{E}$ .

Разработан метод измерения несокомпенсированности электромаг-

<sup>13)</sup> T.Davidek, ATL-TILECAL-2000-10, CERN, Geneva, Switzerland.

нитного калориметра, существенной части комбинированного калориметра [25]. Электромагнитные калориметры имеют толщину  $\sim \lambda_I$ , что не позволяет определить энергию адрона из-за большой продольной утечки адронного ливня. Идея метода заключается в измерении непосредственно отношения  $e/\pi$  с использованием зависимости

$$\left(\frac{e}{\pi}\right)_{em} = \frac{E_{beam} - E_{dm} - E_h}{(R/e)_{em}} \quad (23)$$

в пучке адронов. Ранее корректных методов для нахождения нескомпенсированности электромагнитного калориметра не существовало. Величина  $e/h$  определена в результате аппроксимации  $(e/\pi)_{em}$  (рис. 16А) функцией (22). Таким образом, экспериментально измерена нескомпенсированность центрального жидкок-аргонного электромагнитного калориметра эксперимента АТЛАС, составляющая

$$e/h = 1,74 \pm 0,04 \pm 0,04, \quad (24)$$

что существенно уточняет результат моделирования<sup>14)</sup>,  $e/h > 1,66$ .

В полтора раза точнее, чем полученное ранее, измерено угловое разрешение комбинированного калориметра эксперимента АТЛАС для полярного угла [22] (рис. 16Б)

$$\sigma_\theta = \frac{(160.5 \pm 1.5)}{\sqrt{E}} + (8.2 \pm 0.2) \text{ (мрад)}, \quad (25)$$

что существенно улучшило разделение адронных ливней.

На рис. 17 представлены полученные автором экспериментальные результаты для продольной плотности энергии адронного ливня в комбинированном калориметре. Энергия в каждом продольном сегменте калориметра определялась в рамках  $e/h$ -метода, что не приводит к ее искажению. Электромагнитная и адронная части комбинированного калориметра имеют различную нескомпенсированность, что делает описание продольного профиля нетривиальным. Автором предложен и реализован метод описания продольной плотности энергии адронного ливня в комбинированном калориметре [26], основанный на учете нескомпенсированности его частей. На рис. 17 представлены результаты применения этого метода для комбинированного калориметра АТЛАС. Получено хорошее согласие с экспериментальными результатами.

<sup>14)</sup> R.Wigmans, Proc. 2nd Int. Conf. on Calorimetry in HEP, Capri, 1991.

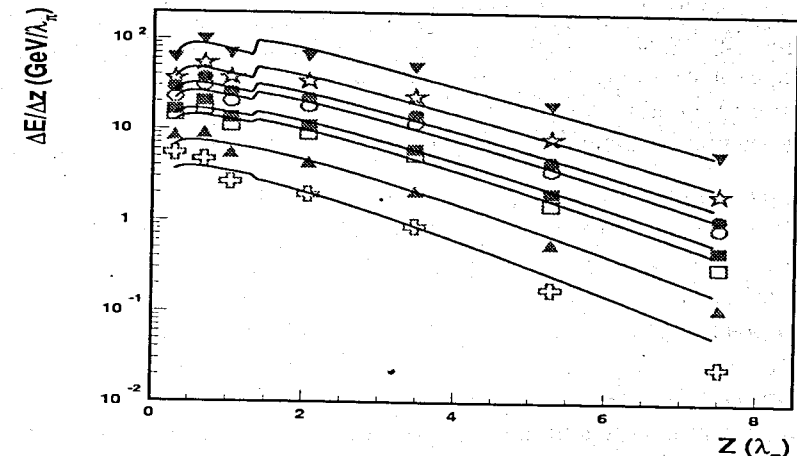


Рисунок 17: Продольные профили адронного ливня для пионов в комбинированном калориметре эксперимента АТЛАС (10 ГэВ –  $\times$ , 20 ГэВ –  $\blacktriangle$ , 40 ГэВ –  $\square$ , 50 ГэВ –  $\blacksquare$ , 80 ГэВ –  $\circ$ , 100 ГэВ –  $\bullet$ , 150 ГэВ –  $\star$ , 300 ГэВ –  $\blacktriangledown$ ). Сплошные кривые рассчитаны в рамках нового метода.

**В заключении** сформулированы основные результаты диссертации:

1. Впервые измерены дифференциальные сечения  $F(x_f)$  инклузивных процессов  $\pi^+ + Be, Cu \rightarrow K_s^0 + X$  при  $x_f > 0,4$ . Исследование проведено при 11,2 ГэВ. Эти данные и по настоящее время остаются единственными. Обнаруженный при  $x_f \rightarrow 1$  рост отношений сечений инклузивного образования  $K_s^0$ -мезонов в  $K^+ A$ - и  $\pi^+ A$ -взаимодействиях объясняется различием в поведении функций фрагментации валентного и морского  $s$ -кварков.
2. Столь же единственными остаются наши измерения дваждыдифференциальных сечений реакций  $K^+ + Be, Cu, Pb \rightarrow K^0, K^0(892)^* + X$ . Измерение проведено при 11,2 ГэВ в области фрагментации пучкового каона. Изучена их  $A$ -зависимость от кинематических переменных  $x_f, p_t$ . Величины параметра  $\alpha$ , полученные при аппроксимации сечений зависимостью  $\sim A^{\alpha(x_f, p_t)}$ , не зависят от кинематических переменных и на  $\simeq 15\%$  больше для реакций  $K^+ + A \rightarrow K^0(892)^* + X$ .
3. Дваждыдифференциальные сечения реакций  $K^+ + A \rightarrow K^0 + X$  описаны в рамках модели кварк-глюонных струн, что делает обоснованным расширение применимости модели для области энергий  $< 100$  ГэВ. Дифференциальные сечения процессов  $K^+ + A \rightarrow K^0, K^*(892)^0 +$

*X* находятся в хорошем согласии с результатами расчетов в рамках кварк-глюонной модели, учитывающей эффекты "экранирования цвета" и длины формирования адронов, что свидетельствует в пользу рассмотренной картины адронизации лидирующего  $\bar{s}$ -кварка. Установлено отношение вкладов в измеренные сечения планарных RRR и цилиндрических RRP диаграмм, составившее  $1.1 \pm 0.2$ .

4. Методом моделирования для одиночных заряженных адронов с энергией до 1 ТэВ и  $|\eta| < 3$  показано, что калориметрический комплекс ATLAS соответствует требованиям эксперимента для энергетического разрешения,  $\sigma/E = 50\%/\sqrt{E} \oplus 3\%$ , и линейности,  $\pm 2\%$ .

5. Для адронного tile калориметра получена рекордная  $\pm 0,7\%$  энергетическая линейность вдоль его поперечной оси и обнаружен эффект улучшения энергетического разрешения при боковой утечке ливня. Для комбинированного калориметра ATLAS в 1,5 раза улучшено угловое разрешение и описаны продольные профили адронного ливня.

6. Предложен и реализован метод трехмерной параметризации адронного ливня в адронном калориметре. Метод позволяет решать задачи калориметрии, связанные с интегрированием по объему. Для железно-цинтилляционного калориметра впервые измерена радиальная плотность энергии адронного ливня, необходимая для быстрого моделирования. Измерение проведено в широком диапазоне по поперечной координате, до  $\simeq 2,5\lambda_l$ , и в зависимости от продольной координаты.

7. Создан и применен новый беспараметрический метод определения энергии адронов в комбинированном калориметре, учитывающий нескомпенсированность его частей. В результате достигнута рекордная  $\pm 1\%$  линейность в восстановленной энергии. Быстрота и точность расчета позволяет использовать данный метод в трингере и решать задачи калориметрии без искажения энергии в сегментах калориметра.

8. Предложен и реализован не имеющий аналогов метод измерения нескомпенсированности электромагнитного калориметра. Измерена нескомпенсированность центрального жидкостного-аргонового электромагнитного калориметра эксперимента ATLAS,  $e/h = 1,74 \pm 0,04 \pm 0,04$ . На основе созданного и примененного метода измерения энергии электронов в адронном tile калориметре с лучшей точностью определена его нескомпенсированность  $e/h = 1,36 \pm 0,01 \pm 0,01$ .

#### Основные результаты опубликованы в работах:

- [1] Antyukhov V.A., ..., Kulchitsky Y.A. et. al.; HYPERON Spectrometer, Instrum. Exp. Tech., 28 (1985) 1021-1030.

- [2] Кульчицкий Ю.А. и др.; Моделирование процессов инклузивного образования нейтральных каонов на установке Гиперон; ОИЯИ-P10-90-392, 10 с., 1990.
- [3] Виноградов В.Б., Кульчицкий Ю.А. и др.; Алгоритм распознавания многотрековых событий на установке Гиперон; ОИЯИ-P10-85-704, 16 с., 1985.
- [4] Виноградов В.Б., Кульчицкий Ю.А. и др.; Эффективность регистрации событий на установке Гиперон в эксперименте по изучению инклузивного рождения странных псевдоскалярных и векторных мезонов; ОИЯИ-P10-90-230, 14 с., 1990.
- [5] Виноградов В., Кульчицкий Ю. и др.; Анализ информации с установки Гиперон в эксперименте по исследованию инклузивного образования  $K^0$  и  $K_{892}^{*0}$ -мезонов; ОИЯИ-P10-90-83, 14 с., 1990.
- [6] Akimenko S.A., ..., Kulchitsky Y.A. et. al.; Study of Inclusive  $K^0$  Mesons Production in  $\pi^+A$  and  $K^+A$  Interactions at 11,2 GeV, Physics of Atomic Nuclei, 56 (5) 1993, 619-623.
- [7] Akimenko S.A., ..., Kulchitsky Y.A. et. al.; Investigation of Inclusive Production of  $K^0$  and  $K^*(892)^0$  Mesons in  $K^+A$  Interactions at 11,2 GeV; Zeitschrift fur Physik C, 56 (1992) 537-546.
- [8] Akimenko S.A., ..., Kulchitsky Y.A. et. al.; Study of Inclusive Production of  $K^0$  mesons in  $K^+A$  interactions at 11,2 GeV, Soviet Journal of Nuclear Physics, 53 (2) 1991, 267-273.
- [9] Amelin N.S., ..., Kulchitsky Y.A. et. al.; Analysis of the Processes  $K^+ + A \rightarrow K^0 + X$  in the Quark-Gluon String Model, Soviet Journal of Nuclear Physics, 53 (5) 1991, 859-863.
- [10] Akimenko S.A., ..., Kulchitsky Y.A. et. al.; Inclusive Production of  $K^*(892)^0$  Mesons in  $K^+A$  Interactions at 11,2 GeV, Soviet Journal of Nuclear Physics, 52 (5) 1990, 884-889.
- [11] Kulchitsky Y.A.; Hadronization of the Leading  $\bar{s}$ -quark in Inclusive Production of  $K^*(892)^0$  and  $K^0$  Mesons on Nuclei, Soviet Journal of Nuclear Physics, 53 (3) 1991, 498-502.
- [12] Kulchitsky Y.A.; ATLAS Calorimeter Performance for Charged Pion; Particles and Nuclei, Letters, 2 (2000) 52-61, Dubna, Russia.
- [13] Berger E., ..., Kulchitsky Y.A. et al.; ATLAS Tile Calorimeter TDR; CERN/LHCC/96-42, 1996, 332 p., Geneva.
- [14] Budagov J.A., Kulchitsky Y.A. et al.; ATLAS Barrel Hadron Calorimeter Module Design; JINR-E13-95-20, 18 p., 1995.

- [15] Budagov J.A., Kulchitsky Y.A. et al.; Experimental Study of the Effect of Hadron Shower Leakage on the Energy Response and Resolution of ATLAS Hadron Barrel Prototype Calorimeter; JINR-E1-96-180, 25 p., 1996.
- [16] Kulchitsky Y.A., Vinogradov V.B.; Non-Compensation of the ATLAS Barrel Tile Module-0 Calorimeter; JINR-E1-99-12, 32 p., 1999.
- [17] Budagov J.A., Kulchitsky Y.A. et al.; Electron Response and  $e/h$  Ratio of ATLAS Barrel Hadron Prototype Calorimeter; JINR-E1-95-513, 26 p., 1995.
- [18] Amaral P., ..., Kulchitsky Y. et al.; Hadronic Shower Development in Iron-scintillator Tile Calorimetry; NIM A443 (2000) 51-70.  
Budagov J., Kulchitsky Y. et al.; Study of the Hadron Shower Profiles with the ATLAS Hadron Calorimeter; JINR-E1-97-318, 27 p., 1997.
- [19] Kulchitsky Y.A., Hadronic Shower Development in Tile Iron-scintillator Calorimetry; Proceeding of the VIII International Conference on Calorimetry in High Energy Physics, 13-19 June 1999, Lisbon, Portugal; World Scientific (2000) 481-490.
- [20] Kulchitsky Y., Vinogradov V.; Analytical Representation of a Longitudinal Hadronic Shower Development; NIM A413 (1998) 484-486.
- [21] Ajaltouni Z., ..., Kulchitsky Y.A. et al.; Results from a Combined Test of an Electromagnetic Liquid Argon Calorimeter with a Hadronic Scintillating Tile Calorimeter; NIM A387 (1997) 333-351.
- [22] Akhmadaliev S., ..., Kulchitsky Y. et al.; Results from a New Combined Test of an Electromagnetic Liquid Argon Calorimeter with a Hadronic Scintillating Tile Calorimeter; NIM A449 (2000) 461-477.
- [23] Kulchitsky Y.A.; Hadron Energy Reconstruction for ATLAS Barrel Combined Calorimeter, Proceedings of IX International Conference on Calorimetry in Particle Physics; 9-14 October 2000, Annecy, France; INFN, Frascati Physics Series; JINR-E1-2000-260, 10 p., 2000.
- [24] Akhmadaliev S., ..., Kulchitsky Y.A. et al.; Hadron Energy Reconstruction for the ATLAS Calorimetry in the Framework of the Non-parametrical Method, NIM A, 2001 (in press).  
Kulchitsky Y.A. et al.; JINR-E1-2000-73, 23 p., 2000.
- [25] Kulchitsky Y.A.; On the  $e/h$  Ratio of the Electromagnetic Calorimeter; Particles and Nuclei, Letters, 3 (2000) 28-34, Dubna.
- [26] Kulchitsky Y.A., Vinogradov V.B.; On the Parameterization of the Longitudinal Hadronic Shower Profiles in Combined Calorimetry; NIM A455 (2000) 499-501.

Рукопись поступила в издательский отдел

29 мая 2001 года.